

首都高速道路公団 正会員 〇小 村 敬  
 住友建設株式会社 正会員 則 武 邦 具  
 本 岡 秀 世

1. はじめに

一般にコンクリート橋は、12フ構造を基本とし、床版構造とは分けられ、それぞれ単独に解かれているが、多元面構造の一種として、折板理論で立体的に解析することが出来る。ここで用いた折板理論は、橋軸方向に折板要素をとり、二次元的に面内作用、面外作用を勘案し、フーリエ変換による弾性理論を基本としている。今回は、完成したプログラム(FOLPLATE)を中心として数種の計算から得られた結果の比較並びに実測値との対比をオ一報の形で報告する。

2. 計算式の概要

各折板要素の両端に水平力、鉛直力、軸力、回転力の4つの力と、それに相当する4つの変位をとる(図-1)。両端での力[F]と変位[D]はある係数-剛性マトリックスで関係づけられる。

即ち、

板の基本方程式

$$\frac{\partial^2 u}{\partial x^2} + \frac{1-\nu}{2} \frac{\partial^2 u}{\partial y^2} + \frac{1+\nu}{2} \frac{\partial^2 v}{\partial x \partial y} = -\frac{1}{k} P_x(x, y) \quad \text{--- ①}$$

$$\frac{\partial^2 v}{\partial y^2} + \frac{1-\nu}{2} \frac{\partial^2 v}{\partial x^2} + \frac{1+\nu}{2} \frac{\partial^2 u}{\partial x \partial y} = -\frac{1}{k} P_y(x, y) \quad \text{--- ②}$$

$$\frac{\partial^4 w}{\partial x^4} + 2 \frac{\partial^4 w}{\partial x^2 \partial y^2} + \frac{\partial^4 w}{\partial y^4} = \frac{1}{D} P_z(x, y) \quad \text{--- ③}$$

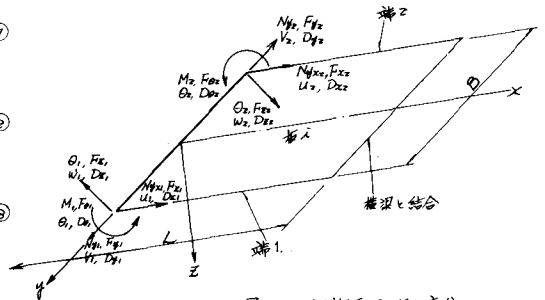


図-1 部板要素の力と変位

対称、逆対称から上式を解いて、

$$\begin{bmatrix} M_1 \\ M_2 \\ Q_1 \\ Q_2 \end{bmatrix} = \begin{bmatrix} K_{11} & K_{12} & K_{13} & K_{14} \\ K_{21} & K_{22} & K_{23} & K_{24} \\ K_{31} & K_{32} & K_{33} & K_{34} \\ K_{41} & K_{42} & K_{43} & K_{44} \end{bmatrix} \begin{bmatrix} \theta_1 \\ \theta_2 \\ w_1 \\ w_2 \end{bmatrix} \quad \text{--- ④}$$

$$\begin{bmatrix} N_{yx1} \\ N_{yx2} \\ N_y1 \\ N_y2 \end{bmatrix} = \begin{bmatrix} K_{55} & K_{56} & K_{57} & K_{58} \\ K_{65} & K_{66} & K_{67} & K_{68} \\ K_{75} & K_{76} & K_{77} & K_{78} \\ K_{85} & K_{86} & K_{87} & K_{88} \end{bmatrix} \begin{bmatrix} u_1 \\ u_2 \\ v_1 \\ v_2 \end{bmatrix} \quad \text{--- ⑤}$$

略記して

$$[F_s]_i = [K_s]_i [D_s]_i \quad \text{--- ⑥}$$

$$[F_p]_i = [K_p]_i [D_p]_i \quad \text{--- ⑦}$$

∴  $\tau$

$$K_{11} = \frac{2\beta}{B} \frac{D}{A} (\sinh \beta \cosh \beta - \beta) = K_{22}$$

$$K_{12} = \frac{2\beta}{B} \frac{D}{A} (\beta \cosh \beta - \sinh \beta)$$

$$K_{13} = \left(\frac{\beta}{B}\right)^2 D \left[ \frac{1}{A} (\sinh^2 \beta + \beta^2) + \nu \right] = K_{23}$$

$$K_{14} = 2 \left(\frac{\beta}{B}\right)^2 \frac{D}{A} (\beta \sinh \beta) = K_{24}$$

$$K_{33} = 2 \left(\frac{\beta}{B}\right)^3 \frac{D}{A} (\cosh \beta \sinh \beta + \beta) = K_{44}$$

$$K_{34} = 2 \left(\frac{\beta}{B}\right)^3 \frac{D}{A} (\beta \cosh \beta + \sinh \beta) = K_{45}$$

$$K_{55} = 2 \frac{D'}{A'} \left(\frac{\beta}{B}\right) (\beta - \lambda \cosh \beta \sinh \beta) = K_{66}$$

$$K_{56} = -2 \frac{D'}{A'} \left(\frac{\beta}{B}\right) (\beta \cosh \beta - \lambda \sinh \beta) = K_{67}$$

$$K_{67} = -2 D' \left(\frac{\beta}{B}\right) \left[ \frac{1}{A'} (\lambda \sinh^2 \beta) + \frac{1+\nu}{2} \right] = K_{68}$$

$$K_{69} = -2 \frac{D'}{A'} \left(\frac{\beta}{B}\right) (\beta \sinh \beta) = K_{67}$$

$$K_{77} = -2 \frac{D'}{A'} \left(\frac{\beta}{B}\right) (\beta + \lambda \cosh \beta \sinh \beta) = K_{88}$$

$$K_{78} = -2 \frac{D'}{A'} \left(\frac{\beta}{B}\right) (\beta \cosh \beta + \lambda \sinh \beta) = K_{87}$$

$$\beta = \frac{n \pi B}{L}$$

$$D = \frac{Et^3}{12(1-\nu^2)}$$

$$D' = \frac{Et}{(1+\nu)^2}$$

$$A = \sinh^2 \beta - \beta^2$$

$$A' = \beta^2 - \lambda^2 \sinh^2 \beta$$

$$\lambda = \frac{3-\nu}{1+\nu}$$

依って単板ごとの関係は次式で表わされる。

$$[\bar{F}]_i = \begin{bmatrix} \bar{F}_s \\ \bar{F}_p \end{bmatrix}_i = \begin{bmatrix} k_s & 0 \\ 0 & k_p \end{bmatrix}_i \begin{bmatrix} \bar{D}_s \\ \bar{D}_p \end{bmatrix}_i = [K]_i [D]_i \quad \text{--- ⑥}$$

次に構造系  $(\bar{F}, \bar{D})$  と部材系  $(F, D)$  との力と変位の関係を、変換行列  $[A]$  で結びつける。

$$[D]_i = [A]_i [\bar{D}]_i \quad \text{--- ⑦}$$

$$[\bar{F}]_i = [A]_i^T [F]_i \quad \text{--- ⑧}$$

故に

$$[\bar{F}]_i = [A]_i^T [F]_i = [A]_i^T [K]_i [A]_i [D]_i = [\bar{K}]_i [D]_i \quad \text{--- ⑨}$$

∴  $\tau$

$$[\bar{K}]_i = [A]_i^T [K]_i [A]_i \text{ は構造全体の剛性マトリックスである。}$$

便宜的に次式の形にして置く。

$$[\bar{F}]_i = \begin{bmatrix} \bar{F}_s \\ \bar{F}_p \end{bmatrix}_i = \begin{bmatrix} \bar{K}_{11} & \bar{K}_{12} \\ \bar{K}_{21} & \bar{K}_{22} \end{bmatrix}_i \begin{bmatrix} \bar{D}_s \\ \bar{D}_p \end{bmatrix}_i \quad \text{--- ⑩}$$

全体構造系で折板の接合点に作用する力  $[R]$  は、外的に作用する力  $[R^0]$  と固定端力  $[R^f]$  との総和で表わさるので

$$[R]_i = [R^0]_i + \Sigma [R^f]_i \quad \text{--- ⑪}$$

固定端力  $[F^f]_i$  は、次式から構造系での固定端力  $[R^f]_i$  に変換される。

$$[R^f]_i = \begin{bmatrix} R^f_s \\ R^f_p \end{bmatrix}_i = [A]_i [F^f]_i \quad \text{--- ⑫}$$

FOLPLATE

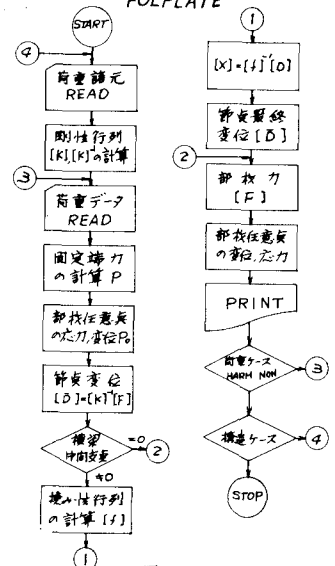


図-2 フローチャート

よって各折板要素での固定端力の計算から、上記の式より、構造系での変位が求まる。以下変換行列を用いて、各折板要素ごとの変位とし、これより断面力が求められる。

次に中間拘束がある場合には、不静定拘束力[X]をとり、それに相当する変位[D]、撓み性マトリックス[f]とすると、

$$[f][X] = [D] \quad \text{--- (13)}$$

最終変位[U]、拘束のない場合の変形量[\Delta]、変換行列[B]とすると、

$$[f][X] - [B]^T[U] = -[\Delta] \quad \text{--- (14)}$$

の関係から、不静定拘束力[X]を考慮し、変位を求め、(13)式から以後の計算を繰返す。

### 3. 数値計算

いくつかの数値計算から、フーリエ級数の項数、スパン/主桁中と応力度との関係、ならびに2主桁橋の実験桁との比較をあげてみる。

数値の項数を、下床版に生ずる力Σ<sub>2</sub>で理論と比較し、その一例を図-3、図-4にあげる。単純桁、3区間連続桁と各数値の傾向はみらる。前者の場合、 $m=9$ 項でほとんど近似してあり、後者では、一部中間支垂部を除き $m=23$ 項で十分に収束している。支垂部付近では、 $m=35$ 項で、約95%の値を示す。支垂上の影響は、急速に低減があるので実用上は短く差支えない。

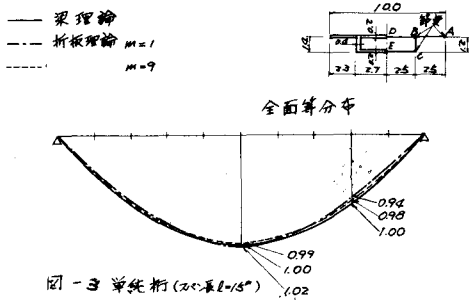


図-3 単純桁 (スパン=15)

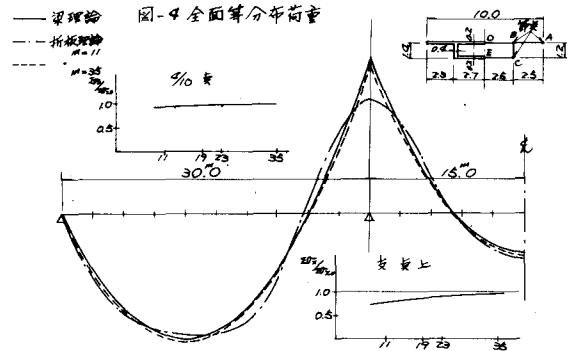


図-4 全面算分布荷重

次に主桁自重作用時のスパン/主桁中と断面の上下縁に生ずる応力度 $\sigma_x$ との関係を、図-5に示すと主桁中の約6倍ではほぼ均一な応力分布となる。集中荷重が載荷した場合の床版に生ずる曲げモーメント $M_x, M_y$ については図-6に示す。また図-7に集中荷重の及ぼす影響範囲をあげておく。ポアソン比 $\nu=0$ と $\nu=1/2$ の断面力にはほとんどその影響があらわれない。

箱型断面で中間横梁を設けると、床版に生ずる軸方向応力度は約70%に減ずる。偏載荷重時にはスパンが15"の場合約15%分配するが、スパン長が20"になるとその影響はみられない。

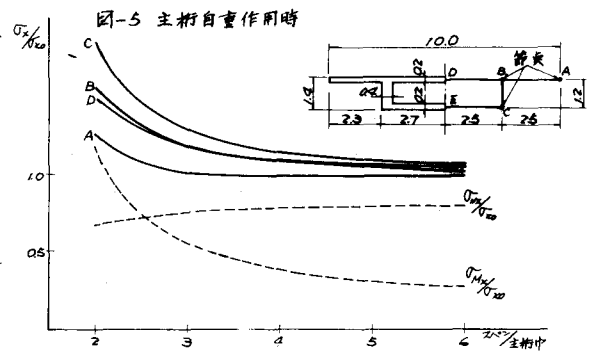


図-5 主桁自重作用時

以下に径間連続構造の2主桁橋の実験桁(S=1/8)を、今回前巻にR.FOLPLATE, BIEGERの2主桁理論を以て理想格子物に於て解き、実験値を比較してゐる。この場合、弾性係数は実験値からタンゼントをデユラス法によつて求めた $E_c = 3.4 \times 10^6 \text{ kg/cm}^2$ ,  $\nu = 0.17$ を採用した。この解析にあつては、級数の項数を $m = 07$ ,  $u = 07$ とした。鉛直にわきの一例と同一にあげてみると、載荷直側では実験値の方が大きめに行つてゐるが、傾向としては同一の形状を示して居る。また各理論値は、本解法より多少大分めに計算される。このことは弾性係数、理想有効中負(1/8)などのバラッキ、支支況下、測定誤差など種々の条件の影響に起因するものと思われる。また分配曲線を図-9に、主桁上に載荷した場合の応力分布を図-10に示す。これは実験値とかなりよく近似してゐる。求められた応力分布から有効中負を算定してみると図中に示すようになる。

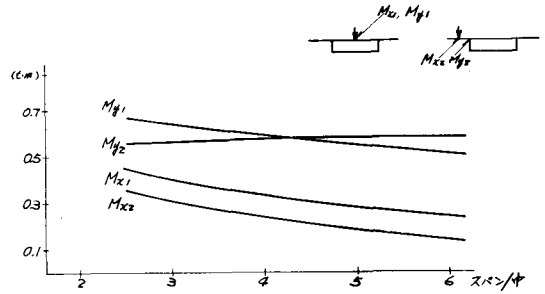


図-6 集中荷重作用時

図-7  
 集中荷重載荷の場合のスパン長の影響  
 軸荷重方向にモメント(D)

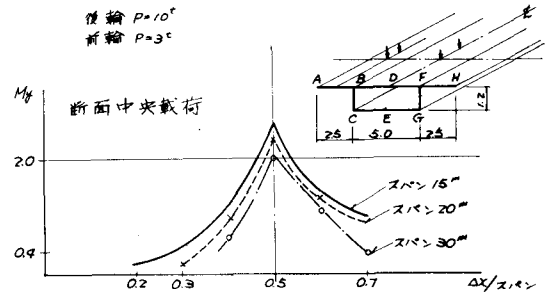


図-9 横方向分配

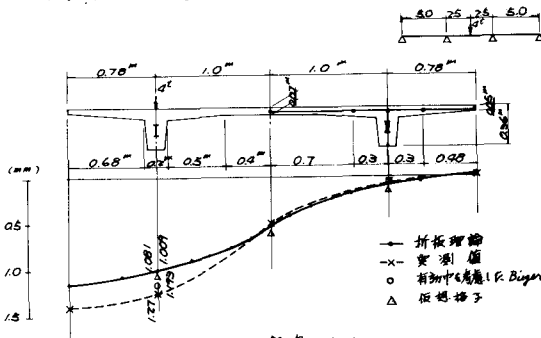
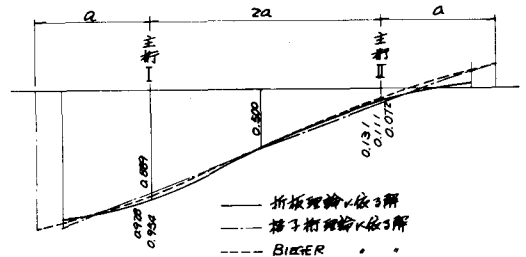


図-8 鉛直にわき



#### 4. あとがき

今回は折板理論によつて、とくにスパン/主桁中比各応力度、さらびに2主桁橋の各種理論値と実験値との比較を報告した。今後、横分配効果など試み、また弾性支承上の構造物の解析に力点を置く。

参考文献は、コンクリート工学 Vol. 10, No. 1, Jan. 1972, "折板構造に関する既往の研究について(F)"を参照されたい。

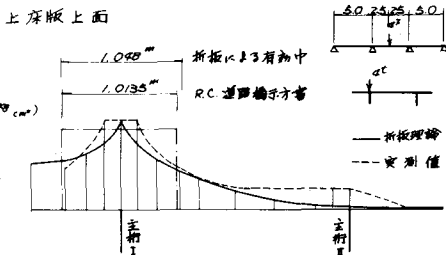


図-10 軸方向応力度分布(σ)